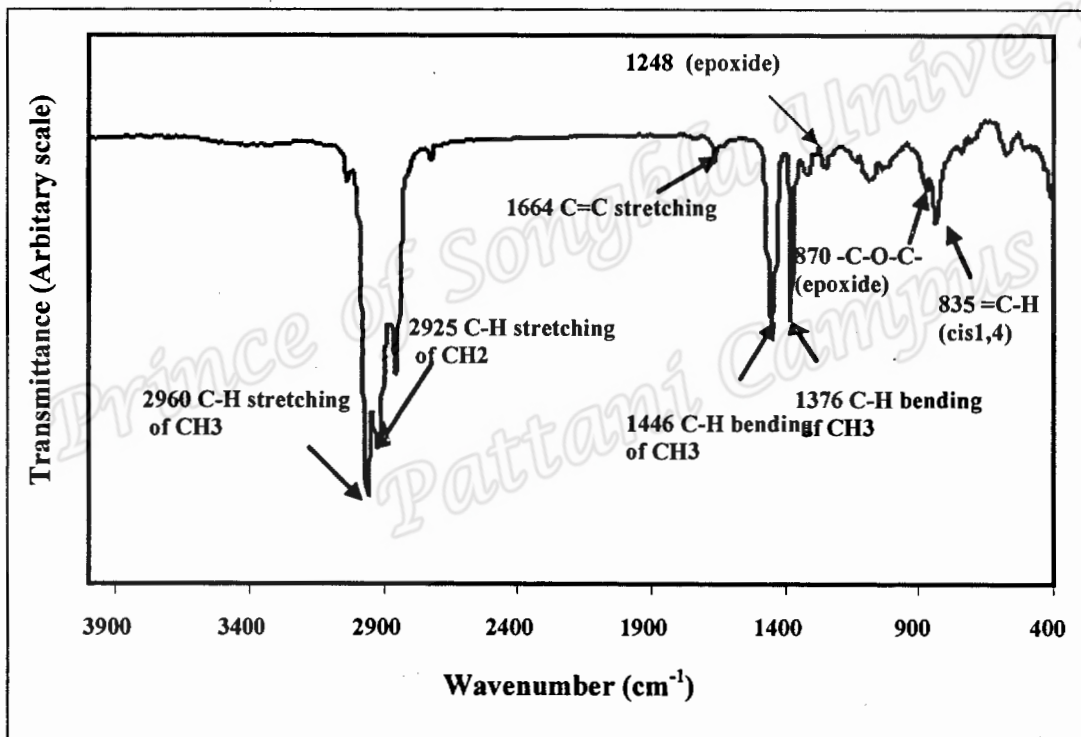


## บทที่ 4

### ผลและวิจารณ์ผลการทดลอง

#### 4.1 การเตรียมยางธรรมชาติอีพอกไซด์

จากการทดลองวิเคราะห์หาปริมาณหมู่อีพอกไซด์ในยางธรรมชาติอีพอกไซด์โดยเตรียมยางธรรมชาติอีพอกไซด์โดยการเกิดปฏิกิริยาอีพอกซิเดชัน นำตัวอย่างยางธรรมชาติอีพอกไซด์ที่ได้ไปทดสอบด้วยเครื่อง FTIR ได้สเปกตรัมของยางธรรมชาติอีพอกไซด์ ดังรูปที่ 4.1 และลักษณะเฉพาะของหมู่อีพอกไซด์ แสดงดังตารางที่ 4.1



รูปที่ 4.1 สเปกตรัมอินฟราเรดของยางธรรมชาติอีพอกไซด์ 30 โมลเปอร์เซ็นต์ (ENR-30)

ตารางที่ 4.1 ตำแหน่งเลขคลื่นและหมู่ฟังก์ชันของยางธรรมชาติอีพอกไซด์จากการวิเคราะห์ด้วย  
เครื่อง FT-IR

Functional group	Wave number (cm <sup>-1</sup> )
C-H stretching of CH <sub>3</sub>	2960
C-H stretching of CH <sub>2</sub>	2925
C-H bending of CH <sub>2</sub>	1446
C-H bending of CH <sub>3</sub>	1376
-C-O-C-(epoxide)	870, 1248
-C=H (cis 1,4)	835

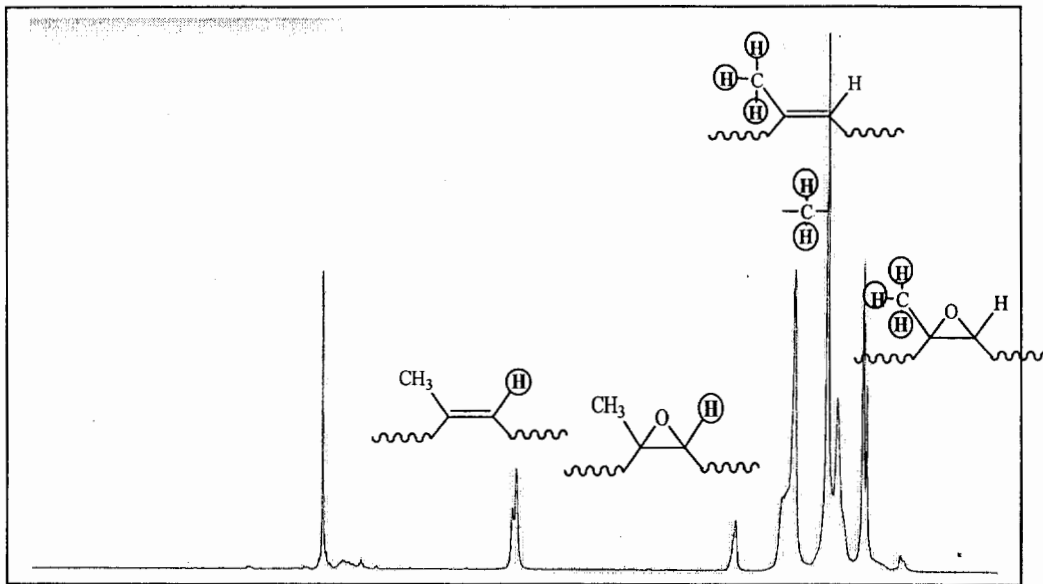
จากสเปกตรัมอินฟราเรดแสดงลักษณะเฉพาะของหมู่อีพอกไซด์ แสดงดังรูปที่ 4.1 และตารางที่ 4.1 แสดงว่ามีหมู่อีพอกไซด์อยู่บนโครงสร้างยางธรรมชาติ

จากสเปกตรัมอินฟราเรด สามารถนำไปหาเปอร์เซ็นต์การเกิดหมู่อีพอกไซด์ (mole% epoxide) โดยใช้ค่าการดูดกลืนแสงอินฟราเรด (absorbance ratio) ของหมู่อีพอกไซด์ที่ตำแหน่งเลขคลื่น 870 cm<sup>-1</sup> เปรียบเทียบกับตำแหน่งเลขคลื่น 835 cm<sup>-1</sup> ซึ่งแสดงถึงการเกิด out-of-plane bending ของพันธะ C-H ที่เกาะกับ C=C ของ cis-1,4-polyisoprene ไปคำนวณหาค่า absorbance ratio (Ar) เพื่อเปรียบเทียบกับกราฟมาตรฐานสำหรับหาปริมาณหมู่อีพอกไซด์ในหน่วยโมลเปอร์เซ็นต์ จากสมการ 4.1

$$Ar = \frac{a_{870}}{a_{870} + a_{835}} \quad (4.1)$$

จากนั้นคำนวณหาปริมาณหมู่อีพอกไซด์โดยใช้กราฟมาตรฐานดังรูปที่ 3.9 (Davey and Loadman, 1984) ยางธรรมชาติอีพอกไซด์ที่มีปริมาณหมู่อีพอกไซด์ 30% (ENR-30) ต้องใช้เวลาในการทำปฏิกิริยา 6 hr 15 min

จากการทดลองนำยางธรรมชาติอีพอกไซด์ที่เตรียมให้มีปริมาณหมู่อีพอกไซด์ 30 โมลเปอร์เซ็นต์ มาวิเคราะห์ด้วยเครื่องนิวเคลียร์แมกเนติกเรโซแนนซ์ชนิดโปรตอน (<sup>1</sup>H-NMR) ได้สัญญาณของยางธรรมชาติอีพอกไซด์ดังรูปที่ 4.2

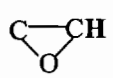
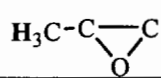


Chemical shift

รูปที่ 4.2 สัญญาณ  $^1\text{H-NMR}$  ของยางธรรมชาติอีพอกไซด์ 30 โมลเปอร์เซ็นต์อีพอกไซด์ ( $\text{CDCl}_3$  เป็นตัวทำละลาย)

จากรูปที่ 4.2 สามารถสรุปตำแหน่ง Chemical shift จากการเกิดเรโซแนนซ์ของโปรตอนในโมเลกุลยางธรรมชาติอีพอกไซด์ แสดงดังตารางที่ 4.2

ตารางที่ 4.2 ตำแหน่ง Chemical shift และหมู่ฟังก์ชันของยางธรรมชาติอีพอกไซด์จากการวิเคราะห์ด้วยเครื่อง  $^1\text{H-NMR}$

Proton resonance	Chemical shift (ppm)
$-\text{CH}_2, -\text{CH}_3$	1-2.5
$\text{C}=\text{CH}$	5.1
	2.7
	1.4

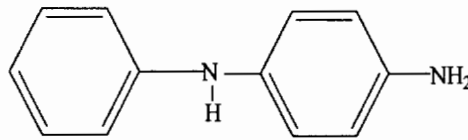
จากรูปที่ 4.2 พบว่าโปรตอนที่เกี่ยวข้องกับคาร์บอนที่เกิดพันธะคู่ (Vinyllic proton) ปรากฏที่ chemical shift ประมาณ 5.1 ppm และโปรตอนตติยภูมิ (Tertiary proton) ที่เกี่ยวข้องกับคาร์บอนของหมู่อีพอกไซด์ที่ chemical shift 2.7 ppm (Gan and Hamid, 1997) เมื่อนำพื้นที่ใต้พีคมาคำนวณการเกิดปริมาณหมู่อีพอกไซด์ (Degree of epoxidation) ได้ปริมาณหมู่อีพอกไซด์ 30%

จากการทดลอง พบว่าการวิเคราะห์ปริมาณหมู่เอพอกไซด์ในยางธรรมชาติอีพอกไซด์ด้วยเทคนิค FT-IR และ  $^1\text{H-NMR}$  ให้ผลที่ใกล้เคียงกัน ดังนั้นสามารถเลือกใช้วิธีการใดก็ได้ในการวิเคราะห์ปริมาณหมู่เอพอกไซด์ในยางธรรมชาติอีพอกไซด์

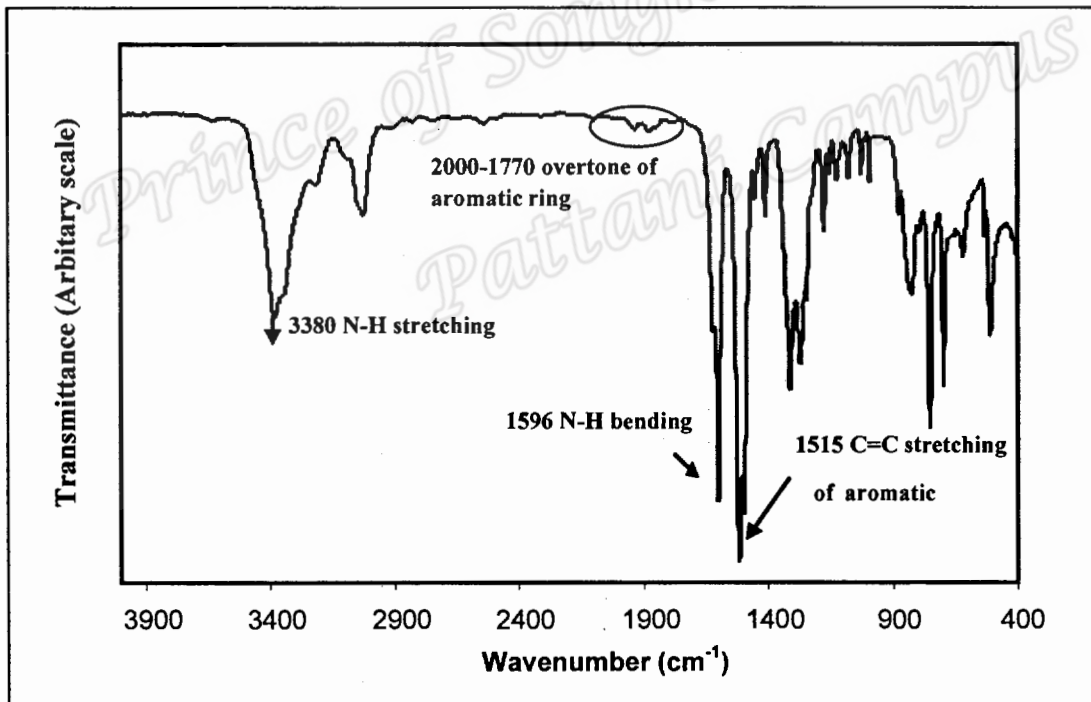
#### 4.2 การเตรียมยางธรรมชาติเกาะติดสารต้านออกซิเดชัน 4-ADPA

##### 4.2.1 การสร้างกราฟมาตรฐานของปริมาณการเกาะติดของสารต้านออกซิเดชัน 4-ADPA บนโมเลกุลยางธรรมชาติ

สารต้านออกซิเดชัน 4-Aminodiphenylamine (4-ADPA) ต่อไปนี้เรียกว่า "4-ADPA" มีลักษณะเป็นของแข็ง สีดำ ซึ่งมีสูตรโครงสร้างดังรูปที่ 4.3 และ IR spectrum แสดงในรูปที่ 4.3



รูปที่ 4.3 สูตรโครงสร้างของสารต้านออกซิเดชัน 4-ADPA



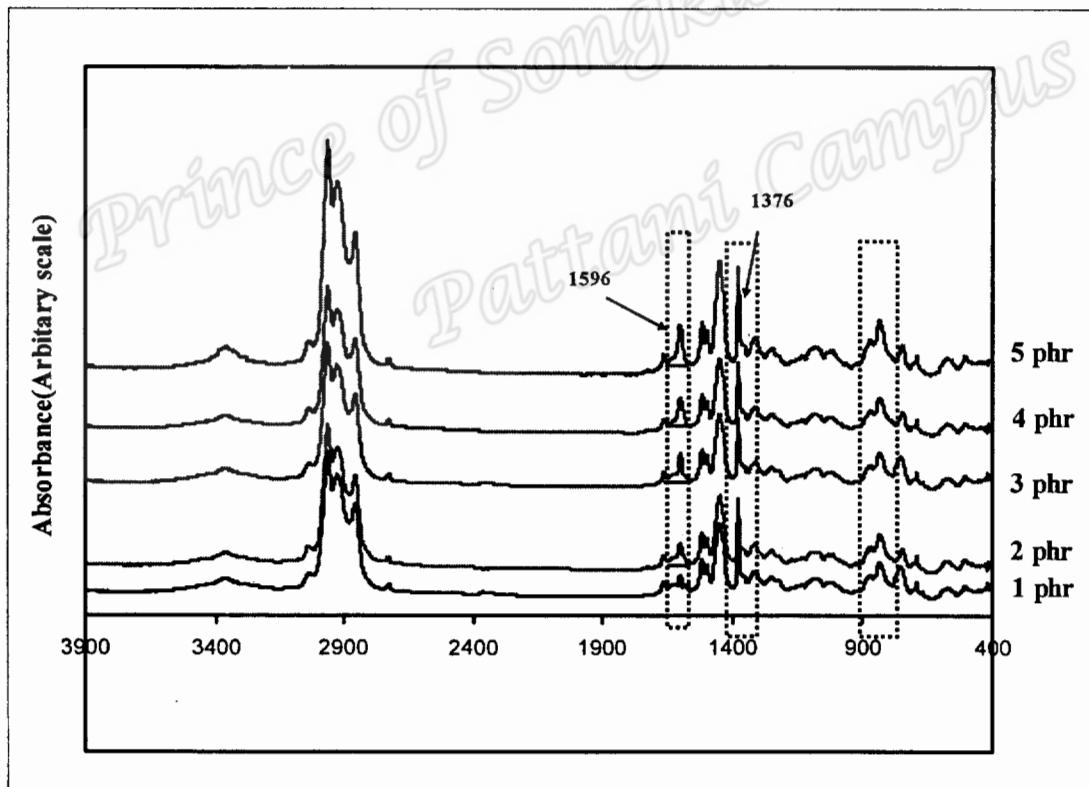
รูปที่ 4.4 สเปกตรัมอินฟราเรดของสารต้านออกซิเดชัน 4-ADPA

จากสเปกตรัมอินฟราเรด พบว่ามีตำแหน่งพีคของการดูดกลืนแสง ซึ่งเป็นลักษณะเฉพาะของสารต้านออกซิเดชัน 4-ADPA ดังตารางที่ 4.3

ตารางที่ 4.3 ตำแหน่งเลขคลื่นและหมู่ฟังก์ชันของสารต้านออกซิเดชัน 4-ADPA จากการวิเคราะห์ด้วยเครื่อง FT-IR

Functional group	Wave number (cm <sup>-1</sup> )
N-H stretching	3380
Overtone of aromatic ring	2000-1770
N-H bending	1598
C=C stretching of aromatic	1515

เมื่อนำยางธรรมชาติเกาะติดสารต้านออกซิเดชัน 4-ADPA ที่เตรียมได้จากวิธีทางกายภาพ (Physical mixture) ตรวจสอบโดยเทคนิคอินฟราเรดสเปกโทรสโกปี ซึ่งแสดงผลการทดลองตามรูปที่ 4.5



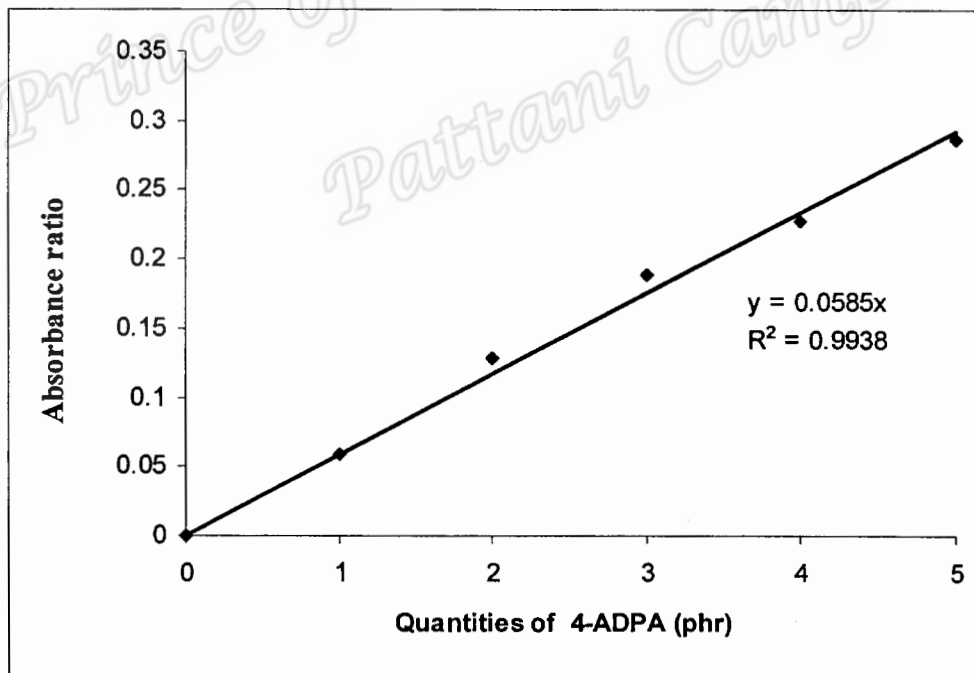
รูปที่ 4.5 สเปกตรัมของของ Physical mixture จากการผสม ENR กับ 4-ADPA ปริมาณ 1, 2, 3, 4 และ 5 phr

จากสเปกตรัมในรูปที่ 4.5 สามารถหาความสัมพันธ์ระหว่างค่าอัตราส่วนการดูดกลืน (absorbance ratio) ระหว่างหมู่เอมีน (เลขคลื่น  $1596\text{ cm}^{-1}$ ) และหมู่ C-H bending of  $\text{CH}_3$  (เลขคลื่น  $1376\text{ cm}^{-1}$ ) ของยางธรรมชาติกับปริมาณสารต้านออกซิเดชัน 4-aminodiphenylamine (ดัดแปลงจาก Barra *et al*, 1999) โดยให้ผลการทดลองตามตารางที่ 4.4

ตารางที่ 4.4 อัตราส่วนการดูดกลืน (absorbance ratio) ของหมู่เอมีนเลขคลื่น  $1596\text{ cm}^{-1}$  และ หมู่ C-H bending of  $\text{CH}_3$  ที่เลขคลื่น  $1376\text{ cm}^{-1}$  ของยางธรรมชาติกับปริมาณสารต้านออกซิเดชัน 4-ADPA

Quantities of 4-ADPA (phr)	Absorbance ratio
1	0.0587
2	0.1276
3	0.1882
4	0.2278
5	0.2861

จากตารางที่ 4.4 นำมาเขียนกราฟแสดงความสัมพันธ์ระหว่าง Absorbance ratio กับปริมาณ 4-ADPA ได้ผลดังรูปที่ 4.6



รูปที่ 4.6 ความสัมพันธ์ระหว่างปริมาณสาร 4-ADPA กับ Absorbance ratio ในการทำปฏิกิริยาระหว่างยางธรรมชาติอีพอกไซด์กับสารต้านออกซิเดชัน

จากตารางที่ 4.4 พบว่าเมื่อเพิ่มปริมาณสาร 4-ADPA ในการทำปฏิกิริยาจะส่งผลให้เกิดการเกาะติดสารต้านออกซิเดชันบนโมเลกุลของยางธรรมชาติเพิ่มมากขึ้น เนื่องจากในโมเลกุลยางธรรมชาติมีตำแหน่งพันธะคู่ (C=C) ซึ่งว่องไวต่อการเกิดปฏิกิริยา เมื่อถูกกระทำภายใต้อุณหภูมิและแรงเฉือนสูงเพียงพอจะทำให้เกิดอนุมูลอิสระหรือเกิดการจัดเรียงตัวใหม่ให้สาร 4-ADPA เข้าไปเกาะติดบนโมเลกุลของยางธรรมชาติได้

จากรูปที่ 4.6 พบว่าอัตราส่วนการดูดกลืน (absorbance ratio) ของหมู่เอมีน เลขคลื่น 1596  $\text{cm}^{-1}$  กับหมู่ C-H bending of  $\text{CH}_3$  ที่เลขคลื่น 1376  $\text{cm}^{-1}$  ถ้าหากมีค่า 0.0585 จะทำให้ทราบปริมาณของสาร 4-ADPA ที่เข้าไปเกาะติดบนโมเลกุลของยางธรรมชาติซึ่งได้เท่ากับ 1 phr จากสูตรดังนี้

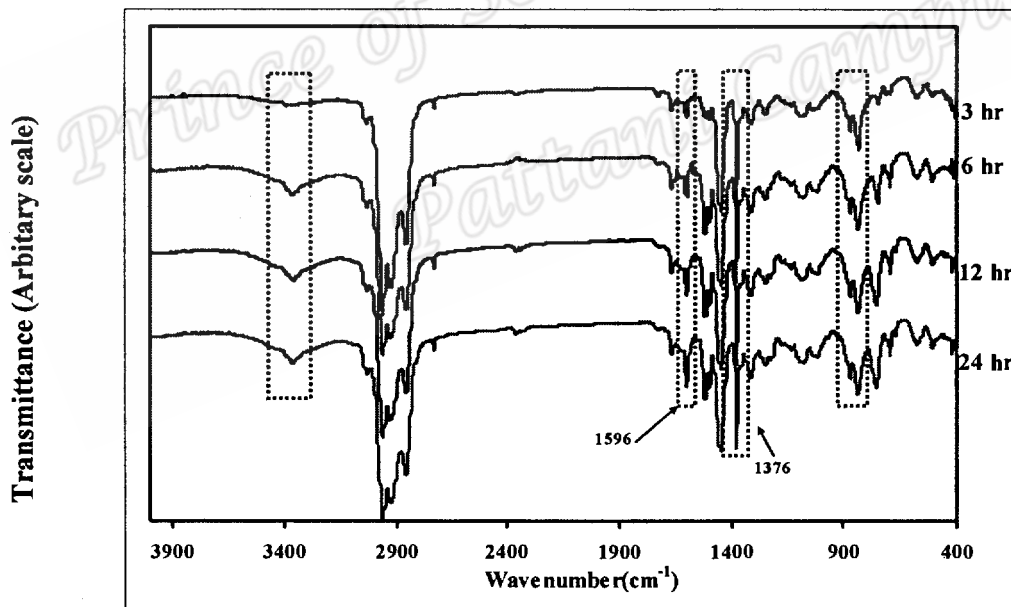
$$Y = 0.0585 X \quad (4.2)$$

โดยที่

Y = อัตราส่วนการดูดกลืน (absorbance ratio) ของหมู่เอมีน เลขคลื่น 1596  $\text{cm}^{-1}$  กับหมู่ C-H bending of  $\text{CH}_3$  ที่เลขคลื่น 1376  $\text{cm}^{-1}$

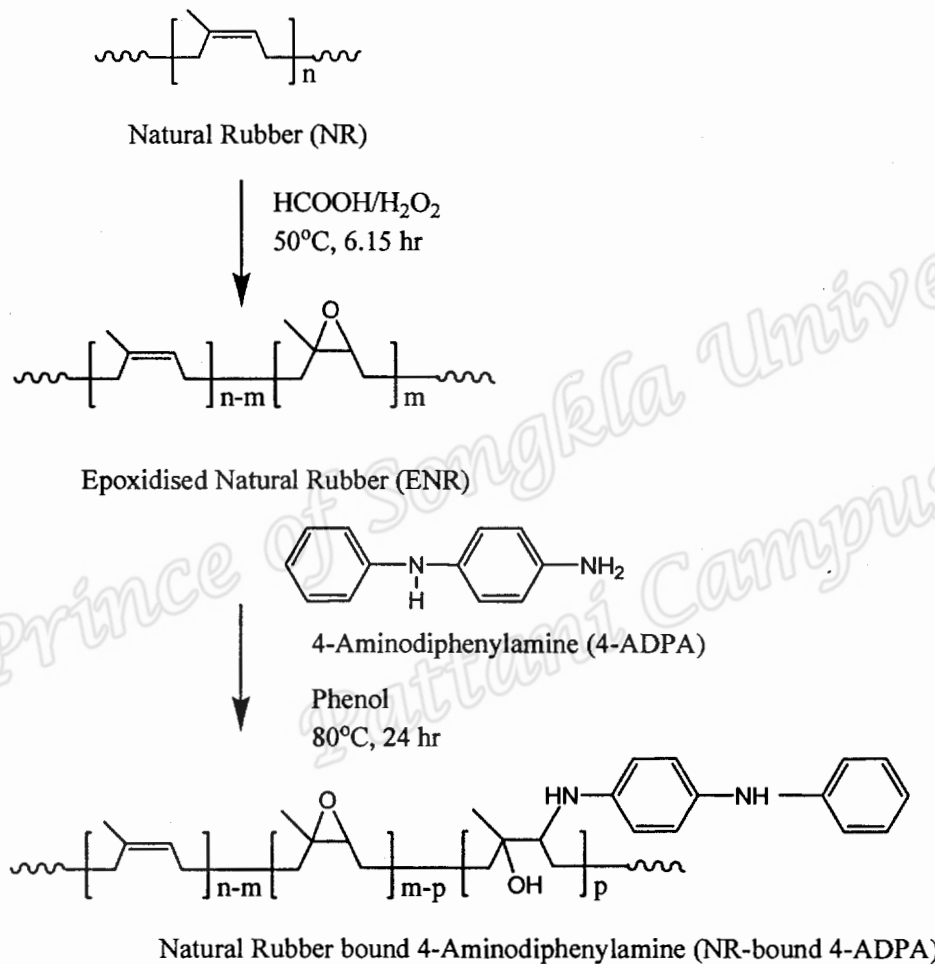
X = ปริมาณของสารต้านออกซิเดชัน 4-ADPA (phr) ที่เกาะติดบนโมเลกุลของยางธรรมชาติ

เมื่อนำผลิตภัณฑ์ NR-bound-4-ADPA ที่ได้ผ่านการทำให้บริสุทธิ์จากนั้นตรวจสอบโดยเทคนิคอินฟราเรดสเปกโทรสโกปี ซึ่งแสดงผลการทดลองตามรูปที่ 4.7



รูปที่ 4.7 สเปกตรัมอินฟราเรดของ NR-bound-4-ADPA ที่อุณหภูมิ 80 °C เป็นเวลา 3, 6, 12 และ 24 hr ตามลำดับ

จากรูปที่ 4.7 พบว่าตำแหน่งพีคของการดูดกลืนแสงปรากฏสเปกตรัมที่  $1596\text{ cm}^{-1}$  และ  $3380\text{ cm}^{-1}$  ซึ่งเป็นลักษณะเฉพาะของสารต้านออกซิเดชัน 4-ADPA ซึ่งในการศึกษาสเปกตรัมของสารต้านทานออกซิเดชัน ก็เพื่อใช้ในการเปรียบเทียบกับยางธรรมชาติเกาะติดสารต้านออกซิเดชันว่ามีการเกาะติดของสารต้านทานการออกซิเดชันหรือไม่ หากมีสเปกตรัมที่ตำแหน่ง  $1596\text{ cm}^{-1}$  และที่  $3380\text{ cm}^{-1}$  แสดงว่ามีการเกาะติดของสารต้านทานการออกซิเดชันจริง และจะเห็นได้ว่าสเปกตรัมมีความชัดเจนมากขึ้นเมื่อเวลาในการทำปฏิริยามากขึ้นด้วย โดยเวลาที่ใช้ในการเตรียมปฏิริยาที่เวลา 24 hr มีความชัดเจนของสเปกตรัมมากที่สุด ปฏิริยาที่คาดว่าจะเกิดขึ้นแสดงในรูปที่ 4.10



รูปที่ 4.8 ปฏิริยาที่เป็นไปได้ของปฏิริยาระหว่างยางธรรมชาติอีพอกไซด์กับสารต้านทานการออกซิเดชัน 4-ADPA

#### 4.2.2 การหาปริมาณการเกาะติดของสารต้านออกซิเดชัน 4-ADPA บนโมเลกุลยางธรรมชาติ

นำยางธรรมชาติเกาะติดสาร 4-ADPA (NR-bound-4-ADPA) ที่เตรียมได้มาหาปริมาณการเกาะติด โดยนำยางที่กรองได้ในขั้นตอนการทำยางเกาะติดด้วย 4-ADPA ให้บริสุทธิ์ อบที่อุณหภูมิ 60 °C เป็นเวลา 24 hr ทิ้งไว้ให้เย็นแล้วชั่งน้ำหนักยางที่ได้ จากสเปกตรัมอินฟราเรด สามารถนำไปหาปริมาณการเกาะติดของสารต้านออกซิเดชัน 4-ADPA บนโมเลกุลยางธรรมชาติโดยใช้ค่าการดูดกลืนแสงอินฟราเรด (absorbance ratio) ของหมู่เอมีน เลขคลื่น 1596  $\text{cm}^{-1}$  กับหมู่ C-H bending of  $\text{CH}_3$  ที่เลขคลื่น 1376  $\text{cm}^{-1}$  ไปคำนวณหาค่า absorbance ratio (Ar) เพื่อเปรียบเทียบกับกราฟสำหรับหาปริมาณการเกาะติดของสารต้านออกซิเดชัน 4-ADPA บนโมเลกุลยางธรรมชาติ จากสมการ 4.2 ซึ่งแสดงผลการทดลองตามตารางที่ 4.5

$$Y = 0.0585 X \quad (4.2)$$

โดยที่

- Y = อัตราส่วนการดูดกลืน (absorbance ratio) ของหมู่เอมีน เลขคลื่น 1596  $\text{cm}^{-1}$  กับหมู่ C-H bending of  $\text{CH}_3$  ที่เลขคลื่น 1376  $\text{cm}^{-1}$   
 X = ปริมาณของสารต้านออกซิเดชัน 4-ADPA (phr) ที่เกาะติดบนโมเลกุลของยางธรรมชาติ

ตารางที่ 4.5 ปริมาณการเกาะติดของสารต้านออกซิเดชัน 4-ADPA บนโมเลกุลยางธรรมชาติ และอัตราส่วนการดูดกลืน (Absorbance ratio) ของหมู่เอมีน เลขคลื่น 1596  $\text{cm}^{-1}$  กับหมู่ C-H bending of  $\text{CH}_3$  ที่เลขคลื่น 1376  $\text{cm}^{-1}$  ของยางธรรมชาติ ที่เวลาการทำปฏิกิริยาต่างๆ

Reaction time (hr)	Absorbance ratio	Quantities of 4-ADPA (phr)
3	0.0589	1.00
6	0.0865	1.48
12	0.1524	2.61
24	0.2312	3.95

เมื่อทำการเกาะติดสาร 4-ADPA ลงบนโมเลกุลของยางธรรมชาติโดยใช้อุณหภูมิในการทำปฏิกิริยาที่ 80 °C แปรเวลาการทำปฏิกิริยาแต่ละชุดเป็น 3, 6, 12 และ 24 hr พบว่าเมื่อเวลาเพิ่มขึ้นทำให้ปริมาณการเกาะติดมีมากขึ้น โดยที่เวลาการทำปฏิกิริยา 3 hr พบว่าจะมีปริมาณสาร 4-ADPA เกาะติด 1 phr บนโมเลกุลยาง ดังนั้นในการเตรียมยางธรรมชาติเกาะติดสารต้านออกซิเดชัน 4-ADPA จึงใช้เวลาในการทำปฏิกิริยา 3 hr ซึ่งได้ปริมาณสาร 4-ADPA เกาะติด เท่ากับ 1 phr เพื่อสามารถเปรียบเทียบ

สมบัติการวัลคาไนซ์ของยางผสมสารเคมี (ยางคอมปอนด์) ยาง NR-bound-4-ADPA ยางคอมปอนด์ ยางธรรมชาติ (NR) และยางคอมปอนด์ยางธรรมชาติอีพอกไซด์ (ENR-30) ที่ผสมกับสารต้าน ออกซิเดชัน 4-ADPA 1 phr เท่ากันที่ผสมโดยตรงแบบวิธีปกติ ตามหัวข้อ 4.4

#### 4.2.3 การหาปริมาณเจล (Gel content)

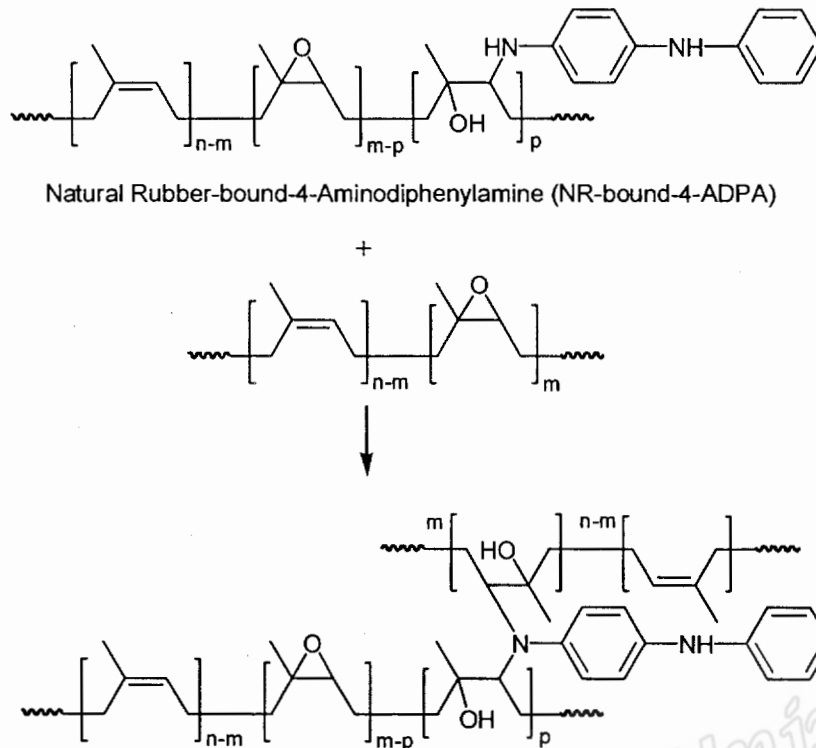
ทำได้โดยนำ NR-bound-4-ADPA ที่กรองได้ในขั้นตอนการทำยางธรรมชาติเกาะติด 4-ADPA ให้บริสุทธิ์ อบที่อุณหภูมิ 60 °C เป็นเวลา 24 hr ทิ้งไว้ให้เย็นแล้วชั่งน้ำหนักยางที่ได้ ซึ่งแสดงผลการ ทดลองตามตารางที่ 4.6

ตารางที่ 4.6 ปริมาณเจลที่เวลาการทำปฏิกิริยาต่างๆ

Time of reaction (hr)	Gel content (% Gel)
3	6.54
6	7.62
12	9.74
24	13.25

เมื่อทำการเกาะติดสาร 4-ADPA ลงบนโมเลกุลของยางธรรมชาติโดยใช้อุณหภูมิในการทำ ปฏิกิริยาที่ 80 °C แปรเวลาการทำปฏิกิริยาแต่ละชุดเป็น 3, 6, 12 และ 24 ชั่วโมง พบว่าเมื่อเวลาใน การทำปฏิกิริยาเพิ่มขึ้น ทำให้ยางเกิดการเจลมากขึ้น อันเนื่องมาจากมีสาร 4-ADPA ประพติดัวเป็น Crosslinking agent ซึ่งสอดคล้องกับงานวิจัยของ Perera (1990) โดยพบว่าสาร 4-ADPA ซึ่งเป็นสาร เอมีนปฐมภูมิ มีความว่องไวต่อปฏิกิริยา ทำให้เกิดการเชื่อมโยงเป็นโครงร่างตาข่าย

ปฏิกิริยาการเกิดโครงร่างตาข่าย (เกิดเจล) ในการทำปฏิกิริยาระหว่างยางธรรมชาติอีพอกไซด์ กับสารต้านออกซิเดชัน แสดงในรูปที่ 4.9



รูปที่ 4.9 ปฏิกิริยาการเกิดโครงร่างตาข่าย (เกิดเจล) ในการทำปฏิกิริยาระหว่างยางธรรมชาติ  
อิพอกไซด์กับสารต้านออกซิเดชัน

#### 4.3 ศึกษาสมบัติของยางธรรมชาติเกาะติดสาร 4-ADPA ที่ไม่มีสารวัลคาไนซ์

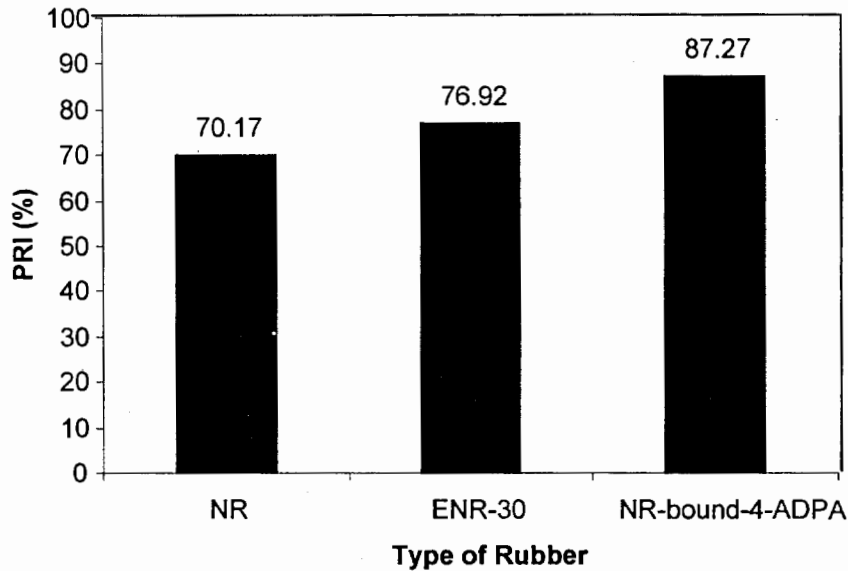
##### 4.3.1 ทดสอบค่าความต้านทานต่อการถูกออกซิไดซ์ของยางธรรมชาติ

จากการหาค่าความต้านทานต่อการถูกออกซิไดซ์ (PRI) ของยางธรรมชาติ (NR) ยางธรรมชาติอิพอกไซด์ (ENR-30) และ NR-bound-4-ADPA ทดสอบด้วยเครื่อง Wallace Rapid Plastometer จากนั้นนำค่าที่ได้มาคำนวณหาค่า Plasticity Retention Index (PRI) ซึ่งแสดงดังตารางที่ 4.7

ตารางที่ 4.7 ค่า  $P_0$ ,  $P_{30}$  และค่า PRI จากการทดสอบด้วยเครื่อง Wallace Rapid Plastometer

Type of rubber	$P_0$	$P_{30}$	PRI
NR	57	40	70.17
ENR-30	62	50	76.92
NR-bound-4-ADPA	65	58	87.27

จากตารางที่ 4.7 นำค่าที่ได้มาเขียนกราฟแสดงความสัมพันธ์ระหว่างค่า PRI (Plasticity Retention Index) ของ NR, ENR-30 และ NR-bound-4-ADPA ได้ดังรูปที่ 4.10



รูปที่ 4.10 เปรียบเทียบค่า PRI ของยางธรรมชาติ ยางธรรมชาติอิพอกไซด์ และ NR-bound-4-ADPA

จากรูปที่ 4.12 เมื่อทำการเปรียบเทียบค่า PRI ของยางธรรมชาติ (NR) ยางธรรมชาติอิพอกไซด์ (ENR-30) และ NR-bound-4-ADPA พบว่า NR-bound-4-ADPA มีความต้านทานต่อการถูกออกซิไดซ์สูงกว่า ยางธรรมชาติอิพอกไซด์ และยางธรรมชาติตามลำดับ ซึ่งแสดงว่าความสามารถในการต้านทานการออกซิเดชันของ NR-bound-4-ADPA สูงกว่ายางธรรมชาติอิพอกไซด์ และยางธรรมชาติตามลำดับ

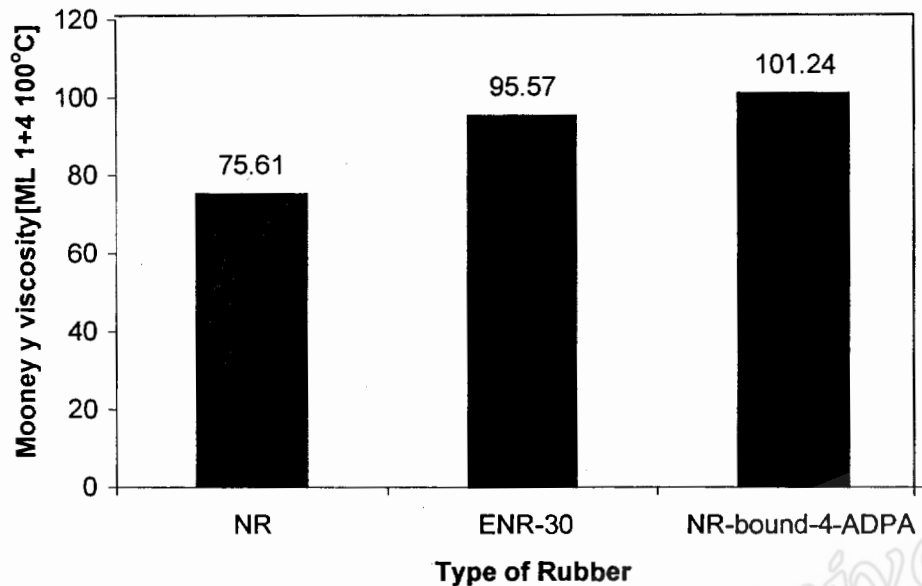
#### 4.3.2 ทดสอบค่าความหนืดมูนนี่

นำยางธรรมชาติ (NR) ยางธรรมชาติอิพอกไซด์ (ENR-30) และ NR-bound-4-ADPA ไปทดสอบหาความหนืดมูนนี่ด้วยเครื่อง Mooney viscometer ได้ผลการทดสอบดังตารางที่ 4.8

ตารางที่ 4.8 ค่าความหนืดมูนนี่ของยางธรรมชาติ (NR) ยางธรรมชาติอิพอกไซด์ (ENR-30) และ NR-bound-4-ADPA

Types of rubber	Mooney viscosity (ML 1+4 100°C)
NR	75.61
ENR-30	95.57
NR-bound-4-ADPA	101.24

จากตารางที่ 4.8 สามารถนำมาเขียนกราฟแสดงค่าความหนืดมูนนี่ของยางธรรมชาติ (NR) ยางธรรมชาติอีพอกไซค์ (ENR-30) และ NR-bound-4-ADPA ดังรูปที่ 4.11



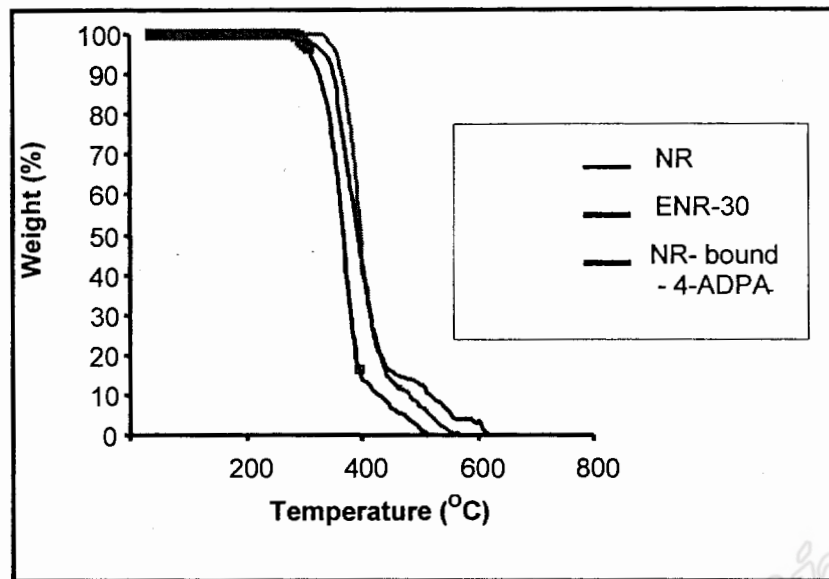
รูปที่ 4.11 เปรียบเทียบค่าความหนืดมูนนี่ของยางธรรมชาติ (NR) ยางธรรมชาติอีพอกไซค์ (ENR-30) และ NR-bound-4-ADPA

จากรูปที่ 4.13 พบว่าค่าความหนืดมูนนี่ของ NR-bound-4-ADPA สูงกว่ายางธรรมชาติอีพอกไซค์ (ENR-30) และยางธรรมชาติ (NR) ตามลำดับ เนื่องจากเป็นผลมาจากการเกิดอันตรกิริยาระหว่างโมเลกุลของ NR-bound-4-ADPA และ ยางธรรมชาติอีพอกไซค์ (ENR-30) ได้มากขึ้น ซึ่งเป็นผลให้โมเลกุลเกิดการเคลื่อนไหวได้น้อยลง เมื่อถูกเจือด้วยโรเตอร์ จึงมีความต้านทานต่อการถูกเจือมากขึ้นด้วย ทั้งนี้เนื่องมาจากมีหมู่เอมีนและหมู่อีพอกไซค์ซึ่งเป็นหมู่ที่ทำให้มีสภาพขั้วในโมเลกุลของยางมากขึ้น ส่งผลให้เกิดแรงยึดเหนี่ยวระหว่างโมเลกุลสูงขึ้น ดังนั้นการไหลของยางที่หลอมภายใต้สภาวะการทดสอบก็จะยากขึ้นตามปริมาณที่เพิ่มขึ้น ซึ่งจากผลการทดลองเห็นได้ว่ายางธรรมชาติเป็นยางที่มีความหนืดมูนนี่ต่ำที่สุด

#### 4.3.3 ทดสอบสมบัติเชิงความร้อน

จากการหาค่าสมบัติการสลายตัวของพอลิเมอร์ที่อุณหภูมิสูงโดยใช้เทคนิค Thermogravimetric analysis (TGA) ของยางธรรมชาติ (NR) ยางธรรมชาติอีพอกไซค์ (ENR-30) และ NR-bound-4-ADPA ทดสอบด้วยเครื่องทดสอบด้วยเครื่อง TGA รุ่น TGA-50

นำค่าที่ได้จากการทดสอบมาวิเคราะห์หาความเสถียรต่อความร้อนเขียนกราฟความสัมพันธ์ระหว่างน้ำหนักของยาง(%) กับอุณหภูมิ ซึ่งข้อมูลที่ได้แสดงดังรูปที่ 4.12 และได้ข้อมูลดังตารางที่ 4.9



รูปที่ 4.12 เปรียบเทียบค่า TGA thermograms ของยางธรรมชาติ (NR) ยางธรรมชาติอีพอกไซด์ (ENR-30) และ NR-bound-4-ADPA ทดสอบโดยใช้ heating rate 10 °C/min ภายใต้บรรยากาศ O<sub>2</sub>

ตารางที่ 4.9 อุณหภูมิการสลายตัวของยางธรรมชาติ (NR) ยางธรรมชาติอีพอกไซด์ (ENR-30) และ NR-bound-4-ADPA

Type of rubber	Decomposition temperature (°C)
NR	265.7
ENR-30	284.6
NR-bound-4-ADPA	330.9

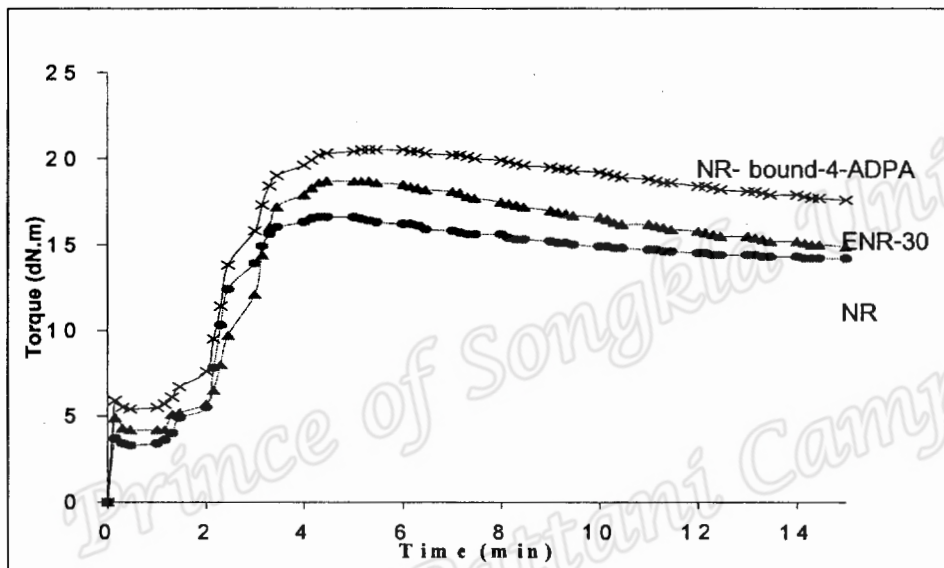
จากข้อมูลในตารางที่ 4.9 พบว่า NR-bound-4-ADPA มีอุณหภูมิการสลายตัวที่อุณหภูมิ 330.9 °C และพบว่า NR-bound-4-ADPA มีอุณหภูมิการสลายตัวที่สูงกว่ายางธรรมชาติอีพอกไซด์ และยางธรรมชาติ เนื่องจาก NR-bound-4-ADPA มีหมู่เอมีนและอีพอกไซด์ที่มีความเป็นขั้ว สามารถเกิดพันธะไฮโดรเจนระหว่างโมเลกุลได้สูง ส่งผลให้อุณหภูมิการสลายตัวของพอลิเมอร์มีค่าสูง ส่วนยางธรรมชาติอีพอกไซด์ มีโครงสร้างของหมู่อีพอกไซด์ ที่แสดงความเป็นขั้วอยู่ในโมเลกุล ทำให้เกิดแรงดึงดูดระหว่างโมเลกุลของมันเอง ส่งผลให้อุณหภูมิการสลายตัวของพอลิเมอร์สูงกว่ายางธรรมชาติ

ซึ่งแสดงให้เห็นว่า NR-bound-4-ADPA มีความสามารถในการต้านทานการออกซิเดชันได้ดีกว่ายางธรรมชาติอีพอกไซด์และยางธรรมชาติ

#### 4.4 สมบัติการวัลคาไนซ์ของยาง NR-bound-4-ADPA, ยางธรรมชาติ (NR) และยางธรรมชาติอีพอกไซด์ (ENR-30) ที่ผสมกับสารต้านออกซิเดชัน 4-ADPA โดยตรงแบบวิธีปกติ

##### 4.4.1 การทดสอบสมบัติการวัลคาไนซ์

นำยางคอมปาวด์ที่เตรียมได้จากหัวข้อ 3.3.4 และ 3.3.5 ทดสอบสมบัติการวัลคาไนซ์ด้วยเครื่อง ODR 2000 ที่อุณหภูมิทดสอบ 180 °C มุมบิด 1 ° ความถี่ในการหมุน 100 rpm ได้ผลการทดลองแสดงดังรูปที่ 4.13



รูปที่ 4.13 กราฟแสดงความสัมพันธ์ระหว่างค่าทอร์กกับเวลาในการทดสอบการวัลคาไนซ์ของยางคอมปาวด์ยางธรรมชาติ (NR) ยางคอมปาวด์ยางธรรมชาติอีพอกไซด์ (ENR-30) และยางคอมปาวด์ NR-bound-4-ADPA

จากรูปที่ 4.13 พบว่า ยางคอมปาวด์ยางธรรมชาติ (NR) ยางคอมปาวด์ยางธรรมชาติอีพอกไซด์ (ENR-30) และ ยางคอมปาวด์ NR-bound-4-ADPA โดยลักษณะของความสัมพันธ์ค่าทอร์กกับเวลาของการวัลคาไนซ์จะเป็นแบบรีเวอร์ชัน (Reversion) คือ ค่าทอร์กมีแนวโน้มเพิ่มสูงขึ้นตามเวลาของการทดสอบจนถึงที่ค่าทอร์กสูงสุดที่เวลาการทดสอบประมาณ 5 นาที หลังจากนั้นค่าทอร์กจะมีแนวโน้มลดลง จากกราฟจะเห็นได้ว่ายางธรรมชาติ (NR) ยางธรรมชาติอีพอกไซด์ (ENR-30) และ NR-bound-4-ADPA ที่ทำการคอมปาวด์โดยระบบก้ำมะถันปกติจะให้กราฟทอร์กที่เป็นแบบรีเวอร์ชัน (โดยในการใช้ยางธรรมชาติจะมีแนวโน้มเป็น flat cure มากกว่า) กล่าวคือ ยางธรรมชาติโดยทั่วไปที่มีการวัลคาไนซ์แบบก้ำมะถันปกติ ซึ่งใช้ปริมาณซัลเฟอร์ที่ค่อนข้างสูง (2-2.5 phr) จึงให้ผลการเชื่อมโยง

เป็น polysulfide ( $C-S_x-C$ ,  $X > 2$ ) ซึ่งต่างจากระบบกำมะถันแบบอื่นที่ให้โครงสร้างเป็น monosulfide หรือ disulfide มากกว่า ซึ่งเมื่อทำการวัลคาไนซ์ที่อุณหภูมิสูงกว่า  $160^{\circ}C$  ยางวัลคาไนซ์ที่มีพันธะเชื่อมโยงแบบ polysulfide จำนวนมาก จะเกิดการรีเวอร์ชันขึ้นอย่างมาก (อาจส่งผลให้พันธะเชื่อมโยงบางส่วนอาจแตกออก โดยจะจัดโครงสร้างเป็น Cyclic) ส่วนการเกิดรีเวอร์ชันในยาง ENR จะเกิดจากการแตกออกของวงแหวนของหมู่เอเทอร์ ซึ่งจะทำให้เกิดการรีเวอร์ชันมากบนโครงสร้าง (Poh et al., 1991)

จากความสัมพันธ์ระหว่างค่าทอร์กกับเวลาในรูปที่ 4.13 สามารถหาค่าแรงบิดสูงสุด ( $M_H$ ), แรงบิดต่ำสุด ( $M_L$ ), ผลต่างของแรงบิด ( $M_H-M_L$ ), เวลาสกอช (scorch time), เวลาวัลคาไนซ์ (cure time) และดรรชนีอัตราในการวัลคาไนซ์ (cure rate index, CRI) ได้ผลดังตารางที่ 4.10

ตารางที่ 4.10 สมบัติการวัลคาไนซ์ของยางคอมเพาต์ยางธรรมชาติ (NR) ยางคอมเพาต์ยางธรรมชาติ อีพอกไซด์ (ENR-30) และ ยางคอมเพาต์ NR-bound-4-ADPA

Properties	Types of rubbers		
	NR	ENR-30	NR-bound-4-ADPA
$M_H$ (dN-m)	16.60	18.70	20.50
$M_L$ (dN-m)	3.32	4.22	5.40
$M_H-M_L$	13.28	14.58	15.10
Scorch time(min)	2.00	2.00	1.68
Cure time (min)	3.45	3.56	3.60
Cure rate index ( $\text{min}^{-1}$ )	68.49	64.52	52.36

จากตารางที่ 4.10 พบว่าเมื่อเปรียบเทียบค่าแรงบิดสูงสุด แรงบิดต่ำสุด และความแตกต่างของแรงบิดของยางคอมเพาต์ยางธรรมชาติ (NR) ยางคอมเพาต์ยางธรรมชาติอีพอกไซด์ (ENR-30) และ ยางคอมเพาต์ NR-bound-4-ADPA พบว่ายางธรรมชาติมีค่าความแตกต่างของแรงบิดใกล้เคียงกับยาง ENR-30 ค่าความแตกต่างของแรงบิดสูงสุดและแรงบิดต่ำสุดจะบอกถึงปริมาณการเชื่อมโยงของโมเลกุลยาง เนื่องจากการมีหมู่เอเทอร์อยู่บนโครงสร้างของโมเลกุล ซึ่งเป็นหมู่ที่มีสภาพขั้วทำให้เกิดแรงยึดเหนี่ยวระหว่างโมเลกุลสูง ทำให้ต้องใช้แรงบิดมากขึ้น เมื่อพิจารณาค่าเวลาในการวัลคาไนซ์ของยางเปรียบเทียบกับยางธรรมชาติ พบว่ายางธรรมชาติ ใช้เวลาในการวัลคาไนซ์นานกว่ายาง ENR-30 และ NR-bound 4-ADPA แต่ยางธรรมชาติอีพอกไซด์จะใช้เวลาในการวัลคาไนซ์นานกว่ายางธรรมชาติ เนื่องมาจากยางธรรมชาติอีพอกไซด์มีหมู่เอเทอร์ ซึ่งมีความเหนียวที่จะทำปฏิกิริยากับสารตัวเร่งก่อนที่จะเข้ามามีส่วนในปฏิกิริยาวัลคาไนซ์ ทำให้ปริมาณสารตัวเร่งที่จะทำหน้าที่ในการเร่งปฏิกิริยาลดลง จึงส่งผลทำให้เวลาในการวัลคาไนซ์ยาวนานขึ้น

เมื่อพิจารณาค่าดัชนีอัตราการวัลคาไนซ์ (Cure rate index) ของยางคอมปोजิต NR-bound-4-ADPA ยางธรรมชาติอีพอกไซด์และยางธรรมชาติ จะมีค่าลดลงตามลำดับ เนื่องจากปริมาณหมู่อีพอกไซด์และหมู่เอมีนที่สูงขึ้น ทำให้พันธะคู่ในโครงสร้างมีน้อย ทำให้โมเลกุลของ NR-bound-4-ADPA ยางธรรมชาติอีพอกไซด์เกิดการเชื่อมโยงกับกำมะถันได้น้อยลง ส่วนโมเลกุลของยางธรรมชาติสามารถเกิดการเชื่อมโยงกับกำมะถันได้ดีกว่า ทำให้ดัชนีอัตราการวัลคาไนซ์ของยางธรรมชาติจึงมีค่ามากกว่า ยางธรรมชาติอีพอกไซด์ และ NR-bound-4-ADPA ตามลำดับ

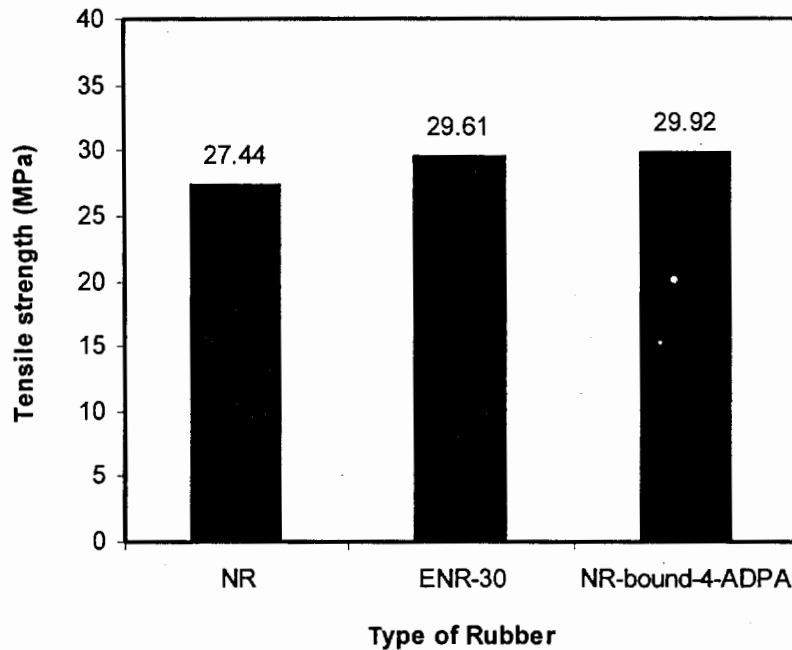
#### 4.4.2 การทดสอบสมบัติเชิงกล

นำคอมปोजิตที่เตรียมได้จากหัวข้อ 3.3.4 และ 3.3.5 เตรียมตัวอย่างชิ้นทดสอบตามหัวข้อ 3.4.2 มาทดสอบสมบัติเชิงกล เช่น ความต้านทานต่อแรงดึง (Tensile strength) ความสามารถในการยืดจนขาด (Elongation at break) และ ความสามารถในการคืนรูป (Tension set) ได้ผลดังแสดงในตารางที่ 4.11

ตารางที่ 4.11 ความต้านทานต่อแรงดึง ความสามารถในการยืดจนขาด และความสามารถในการคืนรูปของยางคอมปोजิตยางธรรมชาติ (NR) ยางคอมปोजิตยางธรรมชาติอีพอกไซด์ (ENR-30) และ ยางคอมปोजิต NR-bound-4-ADPA

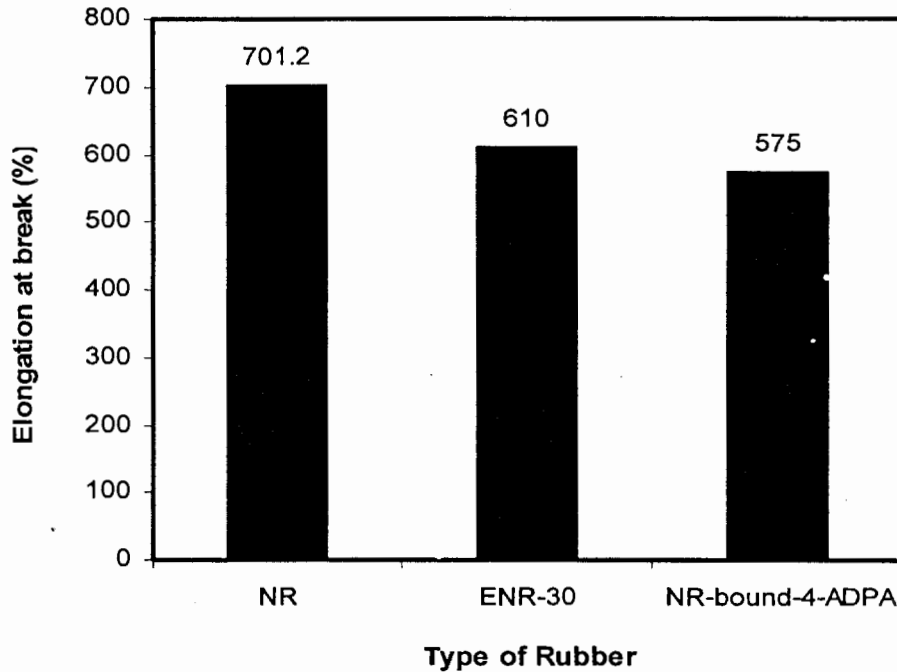
Properties	Types of rubbers		
	NR	ENR-30	NR-bound-4-ADPA
Tensile strength (MPa)	27.44	29.61	29.92
Elongation at break (%)	701.20	604.00	575.00
Modulus (MPa)			
-100% Modulus (MPa)	0.87	0.84	0.90
-200% Modulus (MPa)	1.34	1.35	1.45
-300% Modulus (MPa)	2.12	2.19	2.24

จากตารางที่ 4.11 เขียนกราฟเปรียบเทียบระหว่างความต้านทานต่อแรงดึง ความสามารถในการยืดจนขาดและความสามารถในการคืนรูปกับชนิดของยางดังแสดงในรูปที่ 4.15, 4.16 และ 4.17 ตามลำดับ



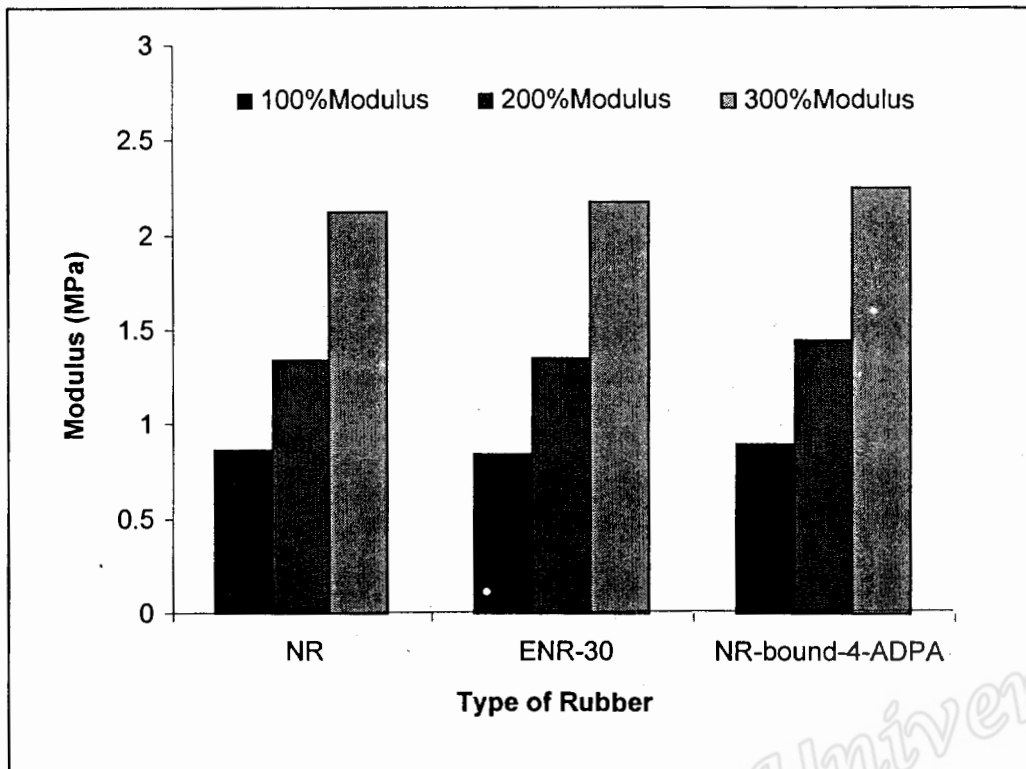
รูปที่ 4.14 เปรียบเทียบสมบัติความต้านทานแรงดึงของยางคอมปาวด์ยางธรรมชาติ (NR) ยางคอมปาวด์ยางธรรมชาติอีพอกไซด์ (ENR-30) และ ยางคอมปาวด์ NR-bound-4-ADPA

จากรูปที่ 4.14 พบว่ายางธรรมชาติ มีความต้านทานต่อแรงดึงใกล้เคียงกับ ENR-30 และ NR-bound-4-ADPA ซึ่งอาจกล่าวได้ว่า ENR-30 และ NR-bound-4-ADPA สามารถเกิดผลึกเมื่อทำการดึงยืดได้เช่นเดียวกับยางธรรมชาติ ทำให้ค่าความต้านทานต่อแรงดึงใกล้เคียงกันกับยางธรรมชาติและเมื่อเปรียบเทียบระหว่างปริมาณหมู่มิซัวพบว่า เมื่อปริมาณหมู่มิซัวเพิ่มขึ้นแนวโน้มของความต้านทานต่อแรงดึง จะเพิ่มขึ้น โดยที่ NR-bound-4-ADPA จะให้ค่าความต้านทานต่อแรงดึงสูงสุด เนื่องจากสามารถเกิดผลึกเมื่อทำการดึงยืดได้สูง



รูปที่ 4.15 เปรียบเทียบสมบัติความทนทานต่อการยืดจนขาดของยางคอมเพาต์ยางธรรมชาติ (NR) ยางคอมเพาต์ยางธรรมชาติอีพอกไซด์ (ENR-30) และ ยางคอมเพาต์ NR-bound-4-ADPA

จากรูปที่ 4.15 พบว่ายางธรรมชาติมีความทนทานต่อการยืดจนขาดสูงกว่า ENR-30 และ NR-bound-4-ADPA ซึ่ง ENR-30 กับ NR-bound-4-ADPA มีความสามารถในการยืดจนขาดใกล้เคียงกัน ซึ่งอธิบายได้เช่นเดียวกับความต้านทานแรงดึง และเมื่อเปรียบเทียบความสามารถในการยืดจนขาดของยางที่ปริมาณหมู่มีซิว พบว่าเมื่อปริมาณหมู่มีซิวเพิ่มสูงขึ้น ความสามารถในการยืดจนขาดมีแนวโน้มลดลง เนื่องจากยางจะมีพันธะที่มี -C-O- linkage ค่อนข้างสูงจึงทำให้แตกหักได้ง่ายกว่า



รูปที่ 4.16 เปรียบเทียบสมบัติค่าโมดูลัสที่ระยะยืด 100%, 200% และ 300% ของยางคอมปาวด์ยางธรรมชาติ (NR) ยางคอมปาวด์ยางธรรมชาติอิพอกไซด์ (ENR-30) และ ยางคอมปาวด์ NR-bound-4-ADPA

จากรูปที่ 4.16 พบว่าค่าโมดูลัสที่ระยะยืด 100%, 200% และ 300% ของยางคอมปาวด์ยางธรรมชาติ (NR) ยางคอมปาวด์ยางธรรมชาติอิพอกไซด์ (ENR-30) และ ยางคอมปาวด์ NR-bound-4-ADPA มีแนวโน้มเพิ่มขึ้นตามปริมาณการมีหุมีขี้ผึ้ง เนื่องจากยางคอมปาวด์ยางธรรมชาติอิพอกไซด์ (ENR-30) และ ยางคอมปาวด์ NR-bound-4-ADPA มีพันธะเชื่อมโยงกันเองได้ จึงทำให้ค่าโมดูลัสเพิ่มขึ้น โดยที่ยางคอมปาวด์ NR-bound-4-ADPA มีค่าโมดูลัสที่ระยะยืด 100%, 200% และ 300% สูงที่สุด

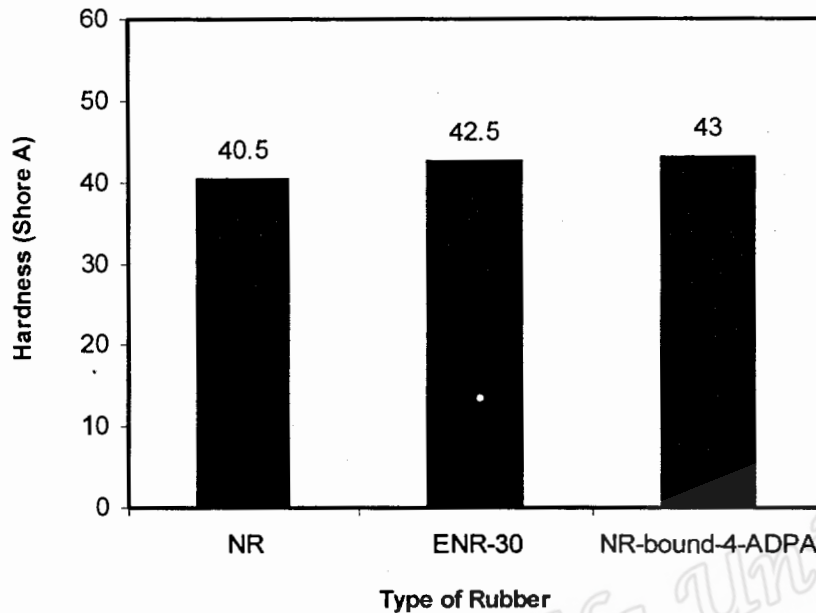
#### 4.4.3 การทดสอบสมบัติความแข็ง (Hardness)

นำคอมปาว์ที่เตรียมได้จากหัวข้อ 3.3.4 และ 3.3.5 ทำการทดสอบสมบัติความแข็ง (Hardness) ได้ผลการทดลองแสดงดังตารางที่ 4.11 และรูปที่ 4.17

ตารางที่ 4.12 ความแข็ง (Shore A) ของยางคอมปาวด์ยางธรรมชาติ (NR) ยางคอมปาวด์ยางธรรมชาติอิพอกไซด์ (ENR-30) และ ยางคอมปาวด์ NR-bound-4-ADPA

Properties	Types of rubbers		
	NR	ENR-30	NR-bound 4-ADPA
Hardness (Shore A)	40.5	42.5	43.0

จากตารางที่ 4.12 สามารถนำมาเขียนกราฟแสดงค่าความแข็ง (Shore A) ของยางคอมปอร์ตยางธรรมชาติ (NR) ยางคอมปอร์ตยางธรรมชาติอีพอกไซด์ (ENR-30) และ ยางคอมปอร์ต NR-bound-4-ADPA ดังรูปที่ 4.18



รูปที่ 4.17 เปรียบเทียบค่าความแข็งของยางคอมปอร์ตยางธรรมชาติ (NR) ยางคอมปอร์ตยางธรรมชาติอีพอกไซด์ (ENR-30) และ ยางคอมปอร์ต NR-bound-4-ADPA

จากรูปที่ 4.17 การทดสอบความแข็งของยางโดยเครื่อง Shore A พบว่า ยาง NR-bound-4-ADPA ให้ความแข็งสูงสุด คือ 43.0 Shore A รองลงมาคือ ยางธรรมชาติอีพอกไซด์ (ENR-30) ให้ความแข็ง 42.5 Shore A และยางธรรมชาติ (NR) ให้ความแข็งต่ำสุด คือ 40.5 Shore A ซึ่งพบว่าเมื่อปริมาณหมู่มิซิวเพิ่มขึ้นความแข็งของยางจะมีแนวโน้มเพิ่มขึ้น เนื่องจาก NR-bound-4-ADPA เมื่อมีปริมาณหมู่อีพอกไซด์และหมู่อะมีนอยู่ในโครงสร้างจะทำให้มีสภาพขั้วในโมเลกุลเพิ่มขึ้นด้วย ส่งผลทำให้มีแรงยึดเหนี่ยวระหว่างโมเลกุลของ NR-bound-4-ADPA สูงขึ้น ทำให้มีความแข็งเพิ่มขึ้นด้วยเช่นกัน ส่วนยางธรรมชาติอีพอกไซด์ (ENR-30) นั้นมีหมู่อีพอกไซด์อยู่ในโครงสร้างจึงทำให้มีแรงยึดเหนี่ยวระหว่างโมเลกุลสูงกว่ายางธรรมชาติ ซึ่งจะเห็นได้ว่ายางธรรมชาติอีพอกไซด์ (ENR-30) กับ NR-bound-4-ADPA มีค่าความแข็งของยางใกล้เคียงกันซึ่งต่างจากยางธรรมชาติที่เป็นยางไม่มีขั้ว

จากสมบัติต่าง ๆ ที่ได้กล่าวมา ความสัมพันธ์ระหว่างค่าความต้านทานต่อแรงดึง (Tensile strength) ความสามารถในการยืดจนขาด (Elongation at break) ค่าโมดูลัส (Modulus,%) และความแข็ง (Hardness) เมื่อนำยางธรรมชาติ (NR) ยางธรรมชาติอีพอกไซด์ (ENR-30) และ NR-bound-4-ADPA เปรียบเทียบกัน จะเห็นว่าการเพิ่มขึ้นของค่าโมดูลัส (Modulus,%) และความแข็ง (Hardness) สิ่งที่มาคือ การลดลงของความต้านทานต่อแรงดึง (Tensile strength) ความสามารถในการยืดจนขาด (Elongation at break)

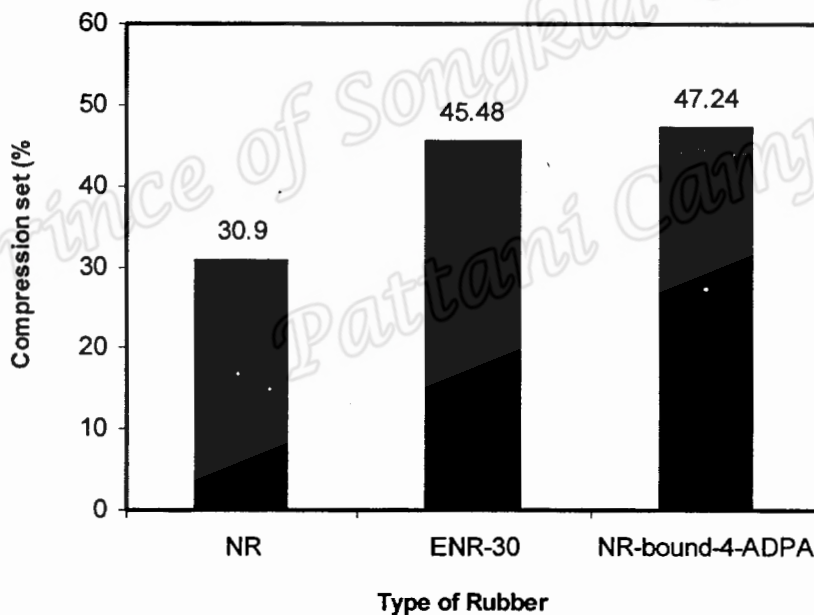
#### 4.4.4 การทดสอบการผิดรูปจากการอัด (Compression set)

นำคอมเปาต์ที่เตรียมได้จากหัวข้อ 3.3.4 และ 3.3.5 ทำการทดสอบการผิดรูปจากการอัด (Compression set) ได้ผลการทดลองแสดงดังตารางที่ 4.13 และรูปที่ 4.18

ตารางที่ 4.13 การผิดรูปจากการอัดของยางคอมเปาต์ยางธรรมชาติ (NR) ยางคอมเปาต์ยางธรรมชาติอีพอกไซด์ (ENR-30) และยางคอมเปาต์ NR-bound-4-ADPA

Properties	Types of Rubbers		
	NR	ENR-30	NR-bound-4-ADPA
Compression set (%)	30.90	45.48	47.24

จากตารางที่ 4.13 สามารถนำมาเขียนกราฟแสดงค่าการผิดรูปจากการอัด (Compression set) ของยางคอมเปาต์ยางธรรมชาติ (NR) ยางคอมเปาต์ยางธรรมชาติอีพอกไซด์ (ENR-30) และ ยางคอมเปาต์ NR-bound-4-ADPA ดังรูปที่ 4.18



รูปที่ 4.18 เปรียบเทียบค่าการผิดรูปจากการอัด (Compression set) ของยางคอมเปาต์ยางธรรมชาติ (NR) ยางคอมเปาต์ยางธรรมชาติอีพอกไซด์ (ENR-30) และ ยางคอมเปาต์ NR-bound-4-ADPA

จากรูปที่ 4.18 เมื่อพิจารณาเปรียบเทียบค่าการผิดรูปจากการอัด (Compression set) ของยางคอมเปาต์ยางธรรมชาติ (NR) ยางคอมเปาต์ยางธรรมชาติอีพอกไซด์ (ENR-30) และ ยางคอมเปาต์ NR-bound-4-ADPA พบว่า NR-bound-4-ADPA มีค่าการผิดรูปจากการอัดมากกว่ายางธรรมชาติ

พอกไซต์ (ENR-30) และยางธรรมชาติตามลำดับ ทั้งนี้เชื่อว่าระดับการเชื่อมโยงภายในโครงสร้างโมเลกุลของ NR-bound-4-ADPA มีค่าต่ำกว่ายางธรรมชาติพอกไซต์ (ENR-30) และยางธรรมชาติตามลำดับ เนื่องจากการมีหมู่พอกไซต์และหมู่เอมีนเกาะอยู่บนโครงสร้างโมเลกุลยาง ทำให้เพิ่มความเกาะให้กับสายโซ่โมเลกุล ส่งผลทำให้ความยืดหยุ่น (chain flexibility) ลดลงซึ่งเป็นผลทำให้ยางคืนรูปได้น้อย

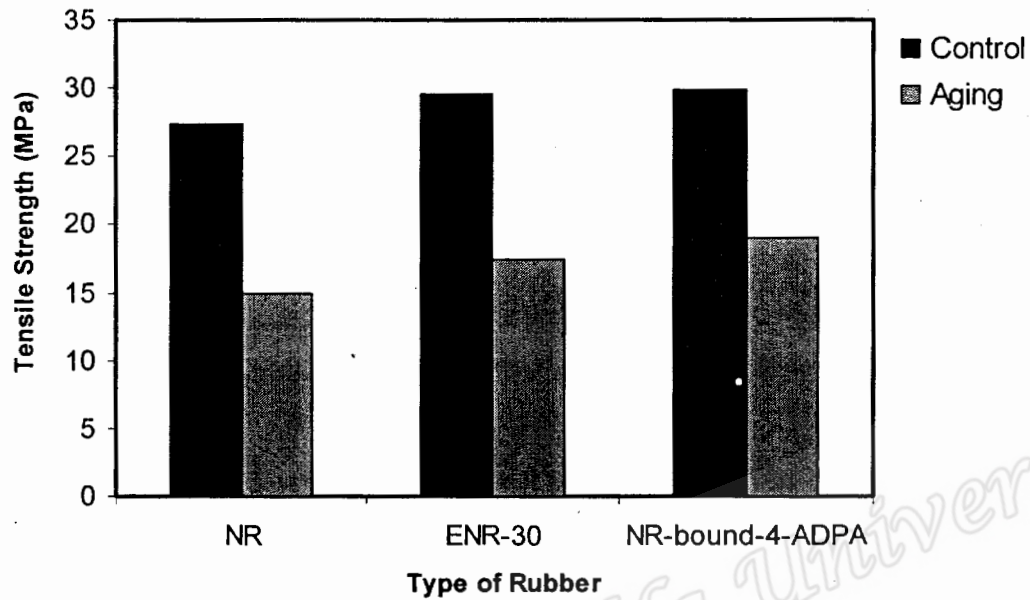
#### 4.4.5 การทดสอบสมบัติความต้านทานต่อความร้อน

นำคอมเปาร์ที่เตรียมได้จากหัวข้อ 3.3.4 และ 3.3.5 มาทำการทดสอบสมบัติด้านความต้านทานต่อแรงดึง ความสามารถในการยืด โมดูลัสที่ 100% 200% และ 300% ทั้งก่อนและหลังการบ่มเร่งด้วยความร้อน ของยางคอมเปาร์ยางธรรมชาติ (NR) ยางคอมเปาร์ยางธรรมชาติพอกไซต์ (ENR-30) และ ยางคอมเปาร์ NR-bound-4-ADPA ใช้อุณหภูมิในการทดสอบ 100 °C ระยะเวลาในการบ่มเร่ง คือ 24 hr ได้ผลการทดลองแสดงดังตารางที่ 4.14

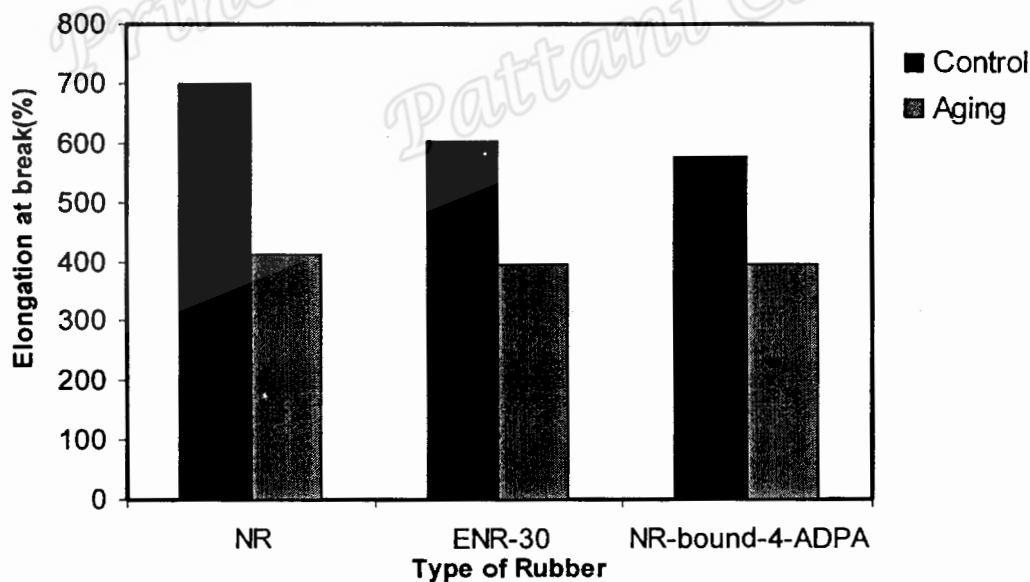
ตารางที่ 4.14 เปรียบเทียบสมบัติต่างๆ ของยางคอมเปาร์ยางธรรมชาติ (NR) ยางคอมเปาร์ยางธรรมชาติพอกไซต์ (ENR-30) และยางคอมเปาร์ NR-bound-4-ADPA

Properties	Type of rubbers		
	NR	ENR-30	NR-bound 4-ADPA
TS (MPa), Control	27.44	29.61	29.92
TS (MPa), Aging	14.93	17.44	19.03
EB (%), Control	701.20	604.00	575.00
EB (%), Aging	410.8	395.6	394.0
100% Modulus (MPa), Control	0.87	0.84	0.90
100% Modulus (MPa), Aging	0.91	0.87	0.92
200% Modulus (MPa), Control	1.34	1.35	1.45
200% Modulus (MPa), Aging	1.45	1.42	1.51
300% Modulus (MPa), Control	2.12	2.19	2.24
300% Modulus (MPa), Aging	2.34	2.35	2.38

จากตารางที่ 4.14 สามารถนำมาเขียนกราฟแสดงค่าความต้านทานต่อแรงดึง (MPa) และค่าความสามารถในการยืด (%) ของยางคอมเพาต์ยางธรรมชาติ (NR) ยางคอมเพาต์ยางธรรมชาติอีพอกไซด์ (ENR-30) และ ยางคอมเพาต์ NR-bound-4-ADPA ดังรูปที่ 4.19 และ 4.20 ตามลำดับ



รูปที่ 4.19 ความต้านทานต่อแรงดึง (MPa) ของชิ้นทดสอบควบคุม และหลังบ่มเร่งด้วยความร้อนของยางคอมเพาต์ยางธรรมชาติ (NR) ยางคอมเพาต์ยางธรรมชาติอีพอกไซด์ (ENR-30) และยางคอมเพาต์ NR-bound-4-ADPA

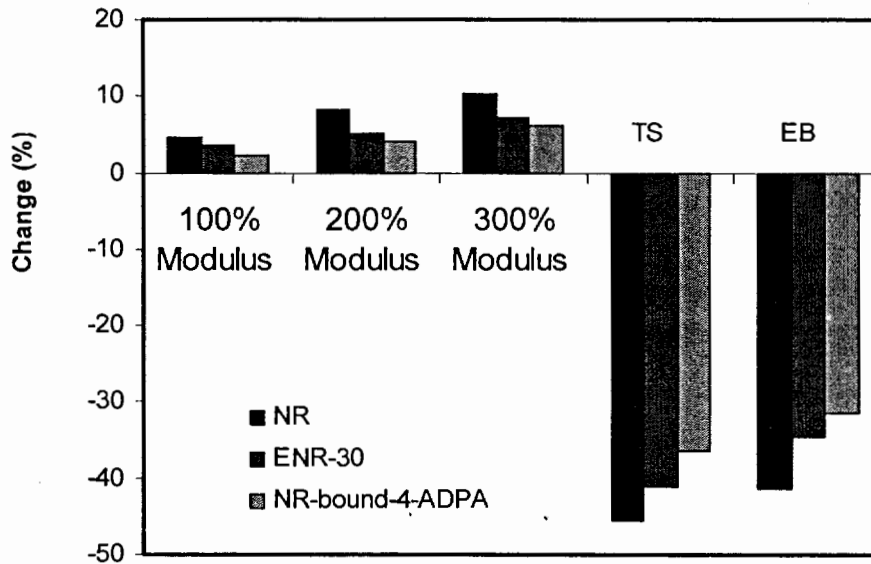


รูปที่ 4.20 ความสามารถในการยืด (%) ของชิ้นทดสอบควบคุม และหลังบ่มเร่งด้วยความร้อนของยางคอมเพาต์ยางธรรมชาติ (NR) ยางคอมเพาต์ยางธรรมชาติอีพอกไซด์ (ENR-30) และยางคอมเพาต์ NR-bound-4-ADPA

จากผลการทดลองดังตารางที่ 4.14 และรูปที่ 4.19 และ 4.20 เปรียบเทียบสมบัติของยางคอมพอสิตยางธรรมชาติ (NR) ยางคอมพอสิตยางธรรมชาติอิพอกไซด์ (ENR-30) และ ยางคอมพอสิต NR-bound 4-ADPA ตามลำดับ จะเห็นได้ว่าความต้านทานต่อแรงดึง ยางคอมพอสิต NR-bound 4-ADPA มีความต้านทานต่อแรงดึงสูงที่สุด รองลงมายางคอมพอสิตยางธรรมชาติอิพอกไซด์ (ENR-30) และยางคอมพอสิตยางธรรมชาติ (NR) ตามลำดับ ส่วนค่าความสามารถในการยืดของยางคอมพอสิตยางธรรมชาติ (NR) มีค่าสูงที่สุด อีกทั้งยังพบว่าเมื่อทำการเปรียบเทียบความสามารถในการยืด (%) ของชั้นทดสอบควบคุม และหลังบ่มเร่งด้วยความร้อนของยางคอมพอสิตยางธรรมชาติ (NR) ยางคอมพอสิตยางธรรมชาติอิพอกไซด์ (ENR-30) และ ยางคอมพอสิต NR-bound-4-ADPA พบว่า ยางคอมพอสิต NR-bound-4-ADPA มีการเปลี่ยนแปลงสมบัติของความต้านทานต่อแรงดึง และ ความสามารถในการยืด น้อยที่สุด จากนั้นนำมาหา % ที่เปลี่ยนไปของสมบัติต่างๆ ของยาง แสดงดังตารางที่ 4.15

ตารางที่ 4.15 เปรียบเทียบเปอร์เซ็นต์การเปลี่ยนแปลงของสมบัติต่างๆ ของยางคอมพอสิตยางธรรมชาติ (NR) ยางคอมพอสิตยางธรรมชาติอิพอกไซด์ (ENR-30) และ ยางคอมพอสิต NR-bound-4-ADPA

Properties Change (%)	Types of rubbers		
	NR	ENR-30	NR- bound-4-ADPA
TS (MPa)	-45.59	-41.11	-36.40
EB (%)	-41.41	-34.50	-31.48
100% Modulus (MPa),	4.60	3.57	2.22
200% Modulus (MPa),	8.20	5.18	4.14
300% Modulus (MPa),	10.38	7.30	6.25



รูปที่ 4.21 เปรียบเทียบเปอร์เซ็นต์การเปลี่ยนแปลงของสมบัติต่างๆ ของยางคอมพาวด์ยางธรรมชาติ (NR) ยางคอมพาวด์ยางธรรมชาติอีพอกไซด์ (ENR-30) และ ยางคอมพาวด์ NR-bound-4-ADPA

จากรูปที่ 4.21 เปรียบเทียบเปอร์เซ็นต์การเปลี่ยนแปลงยางคอมพาวด์ยางธรรมชาติ (NR) ยางคอมพาวด์ยางธรรมชาติอีพอกไซด์ (ENR-30) และ ยางคอมพาวด์ NR-bound-4-ADPA จะเห็นว่าหลังการบ่มเร่ง สมบัติความต้านทานต่อแรงดึง และความสามารถในการยึดพบว่าจะมีค่าลดลง ส่วนค่าโมดูลัสที่ระเหยยึด 100%, 200% และ 300% พบว่าจะมีค่าเพิ่มขึ้น และยางคอมพาวด์ที่มีการเปลี่ยนแปลงหลังบ่มเร่งด้วยความร้อนน้อยที่สุดคือ ยางคอมพาวด์ NR-bound-4-ADPA ดังรูปที่ 4.23 ซึ่งสอดคล้องกับงานวิจัยของ Perera(1990) ที่พบว่าหลังการบ่มเร่ง ยางที่เกาะติดสารด้านออกซิเดชันมีสมบัติการเปลี่ยนแปลงหลังบ่มเร่งด้วยความร้อนน้อยกว่ายางที่ผสมสารด้านออกซิเดชันแบบวิธีปกติ

## บทที่ 5

### สรุปผลการทดลองและข้อเสนอแนะ

#### 5.1 สรุปผลการทดลอง

ปริมาณการเกาะติดของสารต้านออกซิเดชัน 4-ADPA บนโมเลกุลยางธรรมชาติพบว่า เมื่อเพิ่มปริมาณสาร 4-ADPA ในการทำปฏิกิริยาจะส่งผลให้เกิดการเกาะติดสารต้านออกซิเดชันบนโมเลกุลของยางธรรมชาติเพิ่มมากขึ้นปริมาณของสาร 4-ADPA ที่เข้าไปเกาะติดบนโมเลกุลของยางธรรมชาติซึ่งได้เท่ากับ 1 phr ที่อุณหภูมิ 80 °C เวลา 3 hr

ยางธรรมชาติเกาะติดสารต้านออกซิเดชัน 4-ADPA ที่ได้มีลักษณะเป็นของแข็งสีดำ ตำแหน่งพีคของการดูดกลืนแสง ปรากฏสเปกตรัมที่ 1596  $\text{cm}^{-1}$  และ 3380  $\text{cm}^{-1}$  การเกาะติดของ 4-ADPA บนยางธรรมชาติเพิ่มขึ้นเมื่อเวลาในการทำปฏิกิริยาเพิ่มขึ้น

การเกาะติดสาร 4-ADPA ลงบนโมเลกุลของยางธรรมชาติโดยใช้อุณหภูมิในการทำปฏิกิริยาที่ 80 °C ที่เวลา 3, 6, 12 และ 24 ชั่วโมง พบว่าเมื่อเวลาในการทำปฏิกิริยาเพิ่มขึ้น และยางเกิดการเจลเพิ่มขึ้นอันเนื่องมาจากมีสาร 4-ADPA ประพฤติตัวเป็น Crosslinking agent

ความต้านทานต่อการถูกออกซิไดซ์ของยางธรรมชาติ (NR) ยางธรรมชาติอีพอกไซค์ (ENR 30) และ NR-bound-4-ADPA พบว่า NR-bound-4-ADPA มีความต้านทานต่อการถูกออกซิไดซ์สูงกว่า ยางธรรมชาติอีพอกไซค์และยางธรรมชาติตามลำดับ

สมบัติการสลายตัวของยางธรรมชาติ (NR) ยางธรรมชาติอีพอกไซค์ (ENR 30) และ NR-bound-4-ADPA พบว่า NR-bound-4-ADPA มีอุณหภูมิการสลายตัวที่สูงกว่ายางธรรมชาติอีพอกไซค์และยางธรรมชาติ ตามลำดับ

จากการเปรียบเทียบสมบัติการวัลคาไนซ์ของยางผสมสารเคมี (ยางคอมเพาต์) ยาง NR-bound 4-ADPA ยางคอมเพาต์ยางธรรมชาติ (NR) และยางคอมเพาต์ยางธรรมชาติอีพอกไซค์ (ENR-30) ที่ผสมกับสารต้านออกซิเดชัน 4-ADPA โดยตรงแบบวิธีปกติ เมื่อพิจารณาสมบัติการวัลคาไนซ์พบว่า เมื่อเปรียบเทียบระหว่างยางคอมเพาต์ยางธรรมชาติ (NR) ยางคอมเพาต์ยางธรรมชาติอีพอกไซค์ (ENR-30) และ ยางคอมเพาต์ NR-bound 4-ADPA โดยลักษณะของความสัมพันธ์ค่าทอร์กกับเวลาของการวัลคาไนซ์เป็นแบบรีเวอร์สชัน และเมื่อเปรียบเทียบอัตราการวัลคาไนซ์ของยางธรรมชาติมีค่ามากกว่ายางธรรมชาติอีพอกไซค์ และ NR-bound-4-ADPA ตามลำดับ

สมบัติความต้านทานต่อแรงดึงระหว่างยางคอมเพาต์ NR-bound-4-ADPA พบว่า NR-bound-4-ADPA มีค่าความต้านทานต่อแรงดึงสูงสุด

ในขณะที่ความทนทานต่อการยืดจนขาด พบว่า ยางคอมเพาต์ NR-bound-4-ADPA มีความทนทานต่อการยืดจนขาดสูงสุด

เมื่อเปรียบเทียบค่าโมดูลัสที่ระยะยึด 100%, 200% และ 300% พบว่ายางคอมปोजิต NR-bound-4-ADPA มีค่าโมดูลัสที่ระยะยึด 100%, 200% และ 300% สูงที่สุด

ค่าความแข็งของยางคอมปोजิตยางธรรมชาติ (NR) ยางคอมปोजิตยางธรรมชาติอิพอกไซค์ (ENR-30) และยางคอมปोजิต NR-bound-4-ADPA พบว่า ยาง NR-bound-4-ADPA ให้ค่าความแข็งสูงที่สุด รองลงมาคือ ยางธรรมชาติอิพอกไซค์ (ENR-30) และยางธรรมชาติมีค่าความแข็งต่ำสุด

ส่วนค่าผิดรูปจากการอัดของยางคอมปोजิตยางธรรมชาติ (NR) ยางคอมปोजิตยางธรรมชาติอิพอกไซค์ (ENR-30) และ ยางคอมปोजิต NR-bound-4-ADPA พบว่า NR-bound-4-ADPA มีค่าการผิดรูปจากการอัดมากกว่ายางธรรมชาติอิพอกไซค์ (ENR-30) และยางธรรมชาติ (NR) ตามลำดับ

นอกจากนี้สมบัติความต้านทานต่อความร้อนโดยพิจารณา การเปลี่ยนแปลงของยางคอมปोजิตยางธรรมชาติ (NR) ยางคอมปोजิตยางธรรมชาติอิพอกไซค์ (ENR-30) และ ยางคอมปोजิต NR-bound-4-ADPA พบว่าหลังการบ่มเร่งสมบัติความต้านทานต่อแรงดึง และความสามารถในการยึดจนขาด พบว่ามีค่าลดลง ส่วนค่าโมดูลัสที่ระยะยึด 100%, 200% และ 300% พบว่ามีค่าเพิ่มขึ้น และยางคอมปोजิตที่มีสมบัติการเปลี่ยนแปลงหลังบ่มเร่งด้วยความร้อนน้อยที่สุด คือ ยางคอมปोजิต NR-bound-4-ADPA

## 5.2 ข้อเสนอแนะ

5.2.1 ควรนำยางธรรมชาติเกาะติดของสารต้านออกซิเดชัน 4-ADPA ไปใช้ในการออกสูตรยางในการทำผลิตภัณฑ์ยาง

5.2.2 ควรศึกษาการเกาะติดของสารต้านทานการออกซิเดชันในกลุ่มเอมีนตัวอื่นๆ